

# THÉORIE DES GRAPHS (3)

Michel Rigo

<http://www.discmath.ulg.ac.be/>

Année 2015–2016



**Homomorphismes,  
Isomorphismes,  
Automorphismes de graphes**

## DÉFINITION

Soient  $G_i = (V_i, E_i)$ ,  $i = 1, 2$ , deux digraphes.

$f : V_1 \rightarrow V_2$  est un **homomorphisme** de  $G_1$  dans  $G_2$ , si

$$(x, y) \in E_1 \Rightarrow (f(x), f(y)) \in E_2$$

## DÉFINITION

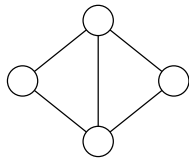
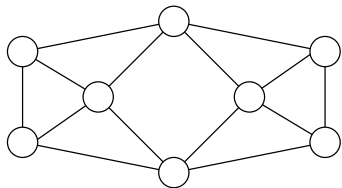
Soient  $G_i = (V_i, E_i)$ ,  $i = 1, 2$ , deux graphes non orientés.

$f : V_1 \rightarrow V_2$  est un **homomorphisme** de  $G_1$  dans  $G_2$ , si

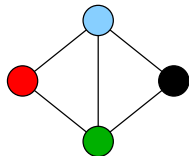
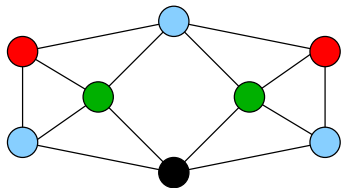
$$\{x, y\} \in E_1 \Rightarrow \{f(x), f(y)\} \in E_2.$$

On dit qu'on a un homomorphisme de  $G_1$  dans  $G_2$ .

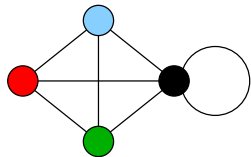
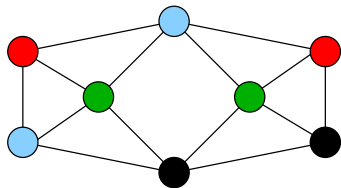
$$\{x, y\} \in E_1 \Rightarrow \{f(x), f(y)\} \in E_2.$$



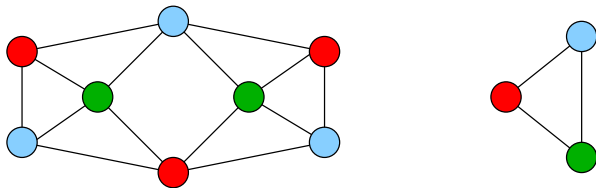
$$\{x, y\} \in E_1 \Rightarrow \{f(x), f(y)\} \in E_2.$$



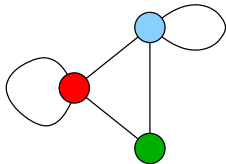
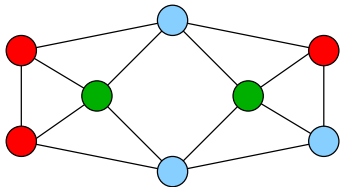
$$\{x, y\} \in E_1 \Rightarrow \{f(x), f(y)\} \in E_2.$$



$$\{x, y\} \in E_1 \Rightarrow \{f(x), f(y)\} \in E_2.$$

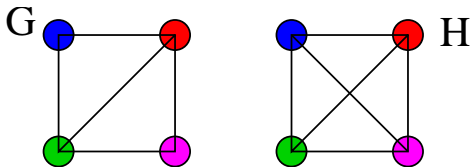


$$\{x, y\} \in E_1 \Rightarrow \{f(x), f(y)\} \in E_2.$$

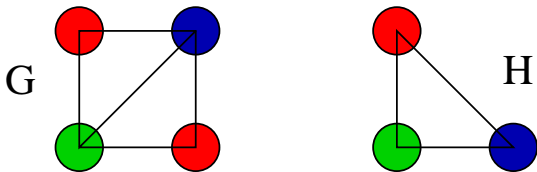




un homomorphisme de  $G$  dans  $H$  n'implique PAS  
un homomorphisme de  $H$  ds  $G$ .



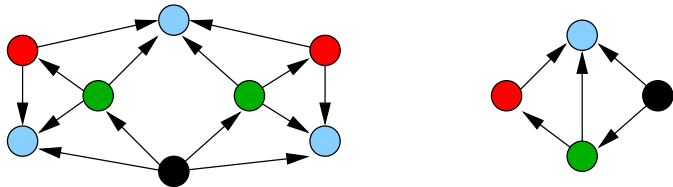
un homomorphisme de  $G$  dans  $H$   
n'est PAS nécessairement injectif.



Pour rappel, une application  $f : V_1 \rightarrow V_2$  est *injective* si, pour tous  $x, y \in V_1$ ,  $x \neq y$  implique  $f(x) \neq f(y)$ .

Exemple d'homomorphisme dans le cas orienté :

$$(x, y) \in E_1 \Rightarrow (f(x), f(y)) \in E_2$$



Un graphe (non orienté) est  $k$ -colorable si

- ▶ on peut colorer ses sommets avec, au plus,  $k$  couleurs ;
- ▶ des sommets voisins ont des couleurs distinctes,

## REMARQUE

Un graphe (non orienté)  $G$  est  $k$ -colorable, s'il existe un homomorphisme de  $G$  dans  $K_k$ .

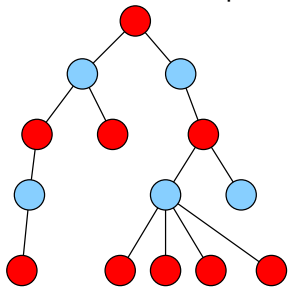
Le **nombre chromatique**  $\chi(G)$  de  $G$  est le plus petit  $k$  tel que  $G$  est  $k$ -colorable.

$\chi(G) = k$  :

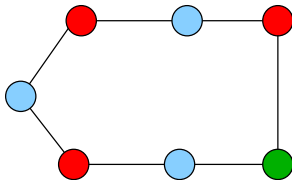
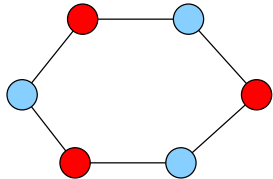
- ▶ il existe un homomorphisme de  $G$  dans  $K_k$ ,
- ▶ il n'existe aucun homomorphisme de  $G$  dans  $K_{k-1}$ .

NB : le nombre chromatique est 'difficile' à calculer (NP-complet).

Nombre chromatique d'un arbre, d'une forêt

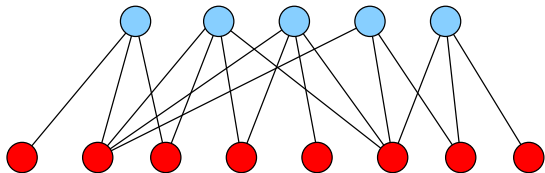


Nombre chromatique d'un cycle de longueur paire / impaire



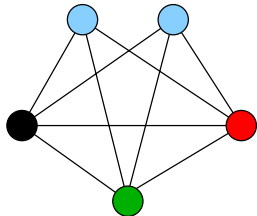
## REMARQUE

Un graphe  $G$  est biparti si et seulement si  $\chi(G) = 2$ .



Nombre chromatique de  $K_n$  :  $\chi(K_n) = n$

Nombre chromatique de  $K_n$  privé d'une arête :  $n - 1$



- ▶ 2 digraphes  $G_i = (V_i, E_i)$ ,  $i = 1, 2$ , sont **isomorphes** si  $\exists$  bijection  $f : V_1 \rightarrow V_2$  t.q.

$$(x, y) \in E_1 \Leftrightarrow (f(x), f(y)) \in E_2$$

- ▶ 2 graphes non orientés sont **isomorphes** si  $\exists$  bijection  $f : V_1 \rightarrow V_2$  t.q.

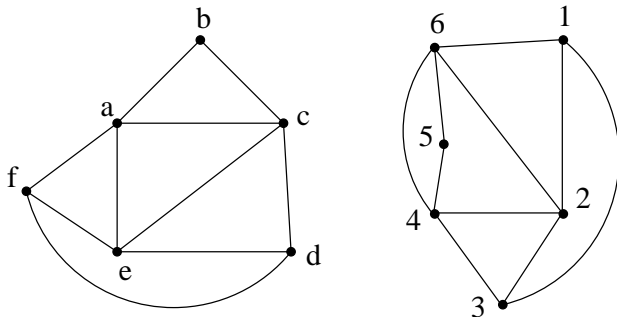
$$\{x, y\} \in E_1 \Leftrightarrow \{f(x), f(y)\} \in E_2$$

- ▶ 2 multi-graphes sont **isomorphes** si  $\exists$  bijection  $f : V_1 \rightarrow V_2$  t.q.  $(x, y)$  arc de multiplicité  $k$  de  $G_1$  SSI  $(f(x), f(y))$  arc de multiplicité  $k$  de  $G_2$ .

## REMARQUE

Si  $f$  est un isomorphisme,  $f^{-1}$  aussi.

Deux graphes *isomorphes* 'même forme'



$\varphi : a \mapsto 4, b \mapsto 5, c \mapsto 6, d \mapsto 1, e \mapsto 2, f \mapsto 3$ .

## REMARQUE

Décider si deux graphes sont isomorphes est un problème 'difficile' (NP-complet).



## PROPOSITION

Soient  $G, H$  deux graphes isomorphes et  $\varphi$  un isomorphisme de  $G$  dans  $H$ . Pour tous sommets  $u, v$  de  $G$ , on a

- ▶  $\deg(u) = \deg(\varphi(u))$ ,
- ▶  $d(u, v) = d(\varphi(u), \varphi(v))$ .

# ETUDE DES SYMÉTRIES D'UN GRAPHE

Soit  $G = (V, E)$  un graphe (orienté ou non).

Un **automorphisme** de  $G$  est un isomorphisme de  $G$  dans  $G$ .

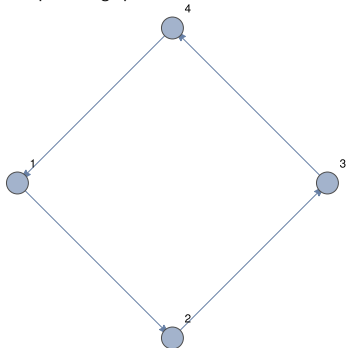
$Aut(G)$  : groupe des automorphismes de  $G$   
muni de la loi de composition d'applications

$Aut(G)$  est un sous-groupe du groupe symétrique  $\mathcal{S}_n$  des permutations de  $n = \#V$  éléments.

Un graphe pour lequel  $Aut(G)$  est réduit à l'identité  $id_V$  est **asymétrique**.

```
In[] := Graph[{1->2, 2->3, 3->4, 4->1}]
```

Exemple d'un graphe orienté



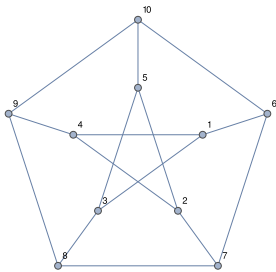
```
In[] := GraphAutomorphismGroup[g]
```

fournit un ensemble de générateurs

```
Out[] := PermutationGroup[{Cycles[{{1, 2, 3, 4}}]}]
```

```
In[] := GroupElements[%]
```

```
Out[] := {Cycles[{}], Cycles[{{1, 2, 3, 4}}],  
Cycles[{{1, 3}, {2, 4}}], Cycles[{{1, 4, 3, 2}}]}
```



```
In[] := PetersenGraph[]
```

exemple d'un graphe non orienté

```
In[] := GraphAutomorphismGroup[PetersenGraph[]]
```

fournit un ensemble de générateurs (ici 3 générateurs)

```
Out[] := PermutationGroup[
  Cycles[{{3, 6}, {5, 7}, {8, 10}}],
  Cycles[{{2, 5, 10, 9, 8, 7}, {3, 6, 4}}],
  Cycles[{{1, 2}, {3, 7}, {5, 6}}]]
```

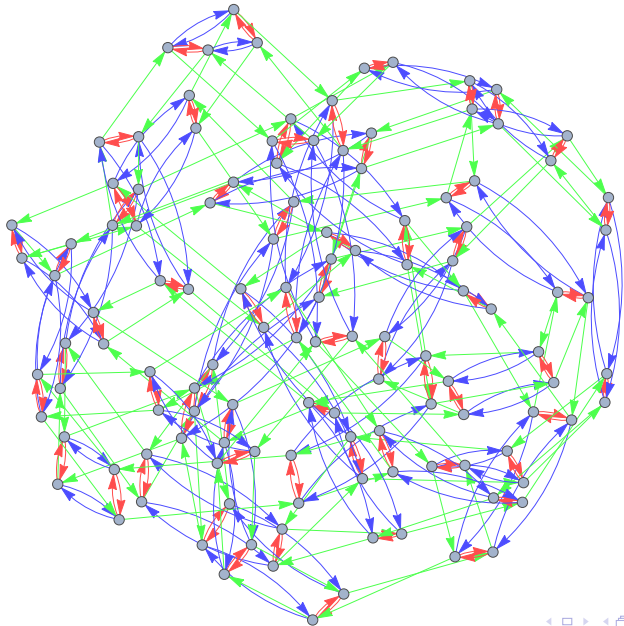
```
In[] := Short[GroupElements[%]]
```

le groupe des automorphismes contient 120 permutations ( $10! = 3628800$ )

```
Out[] := {Cycles[{}], <118>, Cycles[{{1, 10, 2, 8},
  {3, 6, 5, 7}, {4, 9}}]}
```

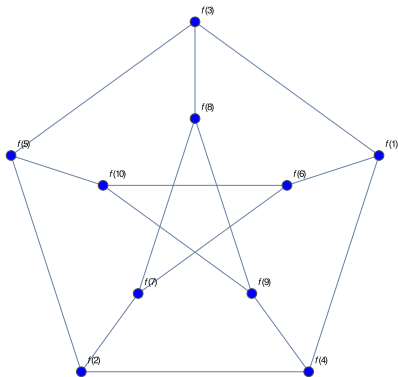
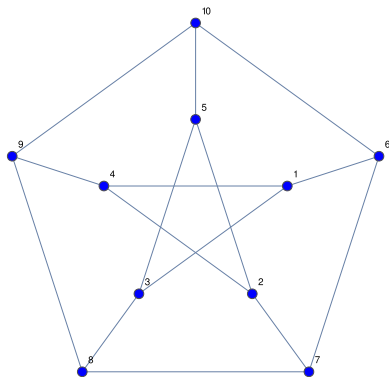
Le graphe de Cayley correspondant

```
In[] := CayleyGraph[GraphAutomorphismGroup[PetersenGraph[]]]
```

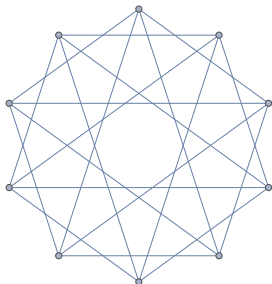


une des permutations de l'ensemble des automorphismes

$$(1\ 6)(2\ 9\ 5\ 8)(3\ 7\ 4\ 10)$$



```
In[] := g=CirculantGraph[10, {2, 4}]
```



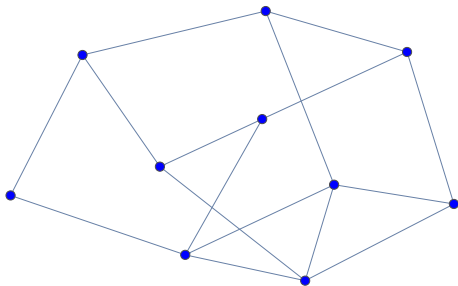
```
In[] := GraphAutomorphismGroup[g]
```

le groupe des automorphismes est engendré par 8 permutations

```
Out[] := PermutationGroup[ {Cycles[{{7, 9}}],  
Cycles[{{5, 7}}], Cycles[{{3, 5}}],  
Cycles[{{8, 10}}], Cycles[{{6, 8}}],  
Cycles[{{4, 6}}], Cycles[{{2, 4}}],  
Cycles[{{1, 2}, {3, 4}, {5, 6}, {7, 8}, {9, 10}}]}]
```

```
In[] := GroupElements[%]//Length      Out[] := 28800
```

Graphe de Petersen avec deux arêtes ajoutées et une enlevée...



```
In[] := GraphAutomorphismGroup[%]
```

```
Out[] := PermutationGroup[{}]
```

Ici, un seul automorphisme, l'identité!

Il s'agit donc d'un graphe asymétrique.



# ARBRES INFINIS ET ISOMORPHISME

Une rare incursion dans le monde des graphes infinis

- ▶ **Alphabet**  $\{a, b\}$
- ▶ **Mots** :  $aa, bba, b, abbbaabaa$  (suites finies de symboles).
- ▶ **Arbre lexicographique** : arbre binaire infini, ses sommets sont en bijection avec les mots sur  $\{a, b\}$ .

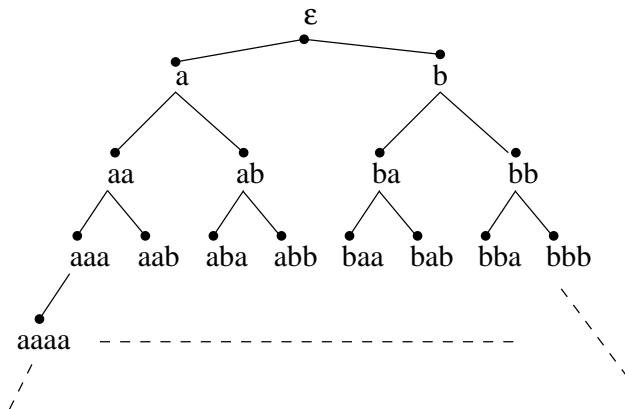
Si un sommet est en bijection avec le mot  $m$  :

- ▶ son fils de **gauche** est en bijection avec  $ma$
- ▶ son fils de **droite** est en bijection avec  $mb$

La racine de l'arbre correspond au mot vide :  $\varepsilon$ .

Cet arbre possède exactement  $2^i$  sommets de niveau  $i$ ,  
les mots de longueur  $i$  :  $\underbrace{a \cdots aa}_{i \times}, a \cdots ab, \dots, b \cdots ba, \underbrace{b \cdots bb}_{i \times}$ .

# ARBRES INFINIS ET ISOMORPHISME



# ARBRES INFINIS ET ISOMORPHISME

Soit un ensemble  $L$  de mots écrits sur  $\{a, b\}$  (un *langage*).  
 $p_L$  : à un mot  $m$  associe 1 (resp. 0) si  $m \in L$  (resp.  $m \notin L$ ).

La pondération est un codage définissant  
le **dictionnaire** des mots de  $L$  (fonction caractéristique).

## REMARQUE IMPORTANTE

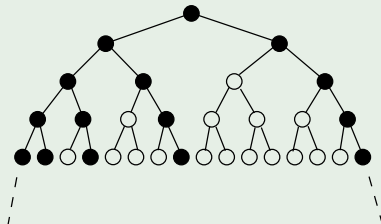
La notion d'isomorphisme s'étend aux graphes **pondérés** :

Si deux graphes  $G_i = (V_i, E_i)$ ,  $i = 1, 2$  ont leurs sommets pondérés par  $p_i : V_i \rightarrow \Sigma$ , la définition d'un isomorphisme  $f : V_1 \rightarrow V_2$  doit aussi respecter

$$p_1(v) = p_2(f(v)), \quad \forall v \in V_1.$$

## UN LANGAGE ET L'ARBRE PONDÉRÉ

$L$  formé des mots commençant par un nombre arbitraire de  $a$  (éventuellement aucun) et suivi par un nombre arbitraire de  $b$  (éventuellement aucun), l'arbre pondéré  $A_L$

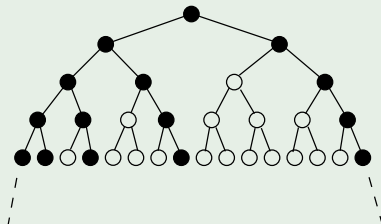


$\varepsilon, a, b, aa, ab, bb, aaa, aab, abb, bbb, \dots$

# ARBRES INFINIS ET ISOMORPHISME

$A_m$  : sous-arbre obtenu en considérant comme nouvelle racine le sommet  $m$  et en ne conservant dans  $A_m$  que les descendants de  $m$

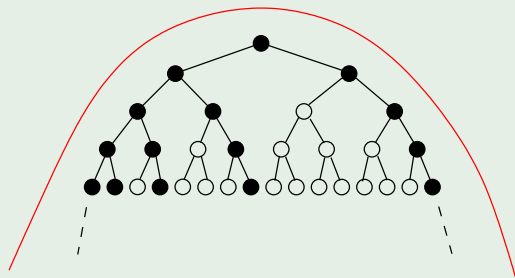
## ARBRE RÉGULIER



l'arbre  $A_L$  ne possède, à isomorphisme près, que 3 sous-arbres non isomorphes (par exemple,  $A_L$  lui-même,  $A_b$  et  $A_{ba}$ )

nombre fini de sous-arbres non isomorphes : arbre **régulier**.

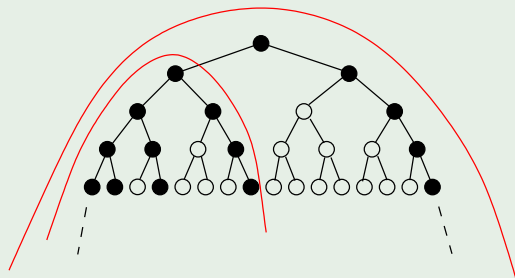
## ARBRE RÉGULIER



l'arbre  $A_L$  ne possède, à isomorphisme près, que 3 sous-arbres non isomorphes (par exemple,  $A_L$  lui-même,  $A_b$  et  $A_{ba}$ )

nombre fini de sous-arbres non isomorphes : arbre **régulier**.

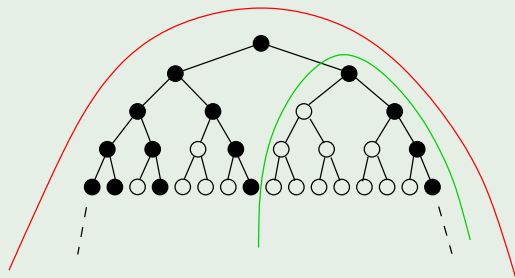
## ARBRE RÉGULIER



l'arbre  $A_L$  ne possède, à isomorphisme près, que 3 sous-arbres non isomorphes (par exemple,  $A_L$  lui-même,  $A_b$  et  $A_{ba}$ )

nombre fini de sous-arbres non isomorphes : arbre **régulier**.

## ARBRE RÉGULIER

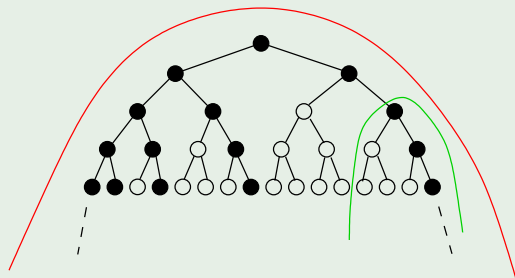


l'arbre  $A_L$  ne possède, à isomorphisme près, que 3 sous-arbres non isomorphes (par exemple,  $A_L$  lui-même,  $A_b$  et  $A_{ba}$ )

nombre fini de sous-arbres non isomorphes : arbre **régulier**.



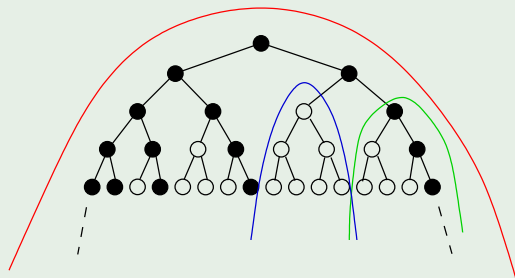
## ARBRE RÉGULIER



l'arbre  $A_L$  ne possède, à isomorphisme près, que 3 sous-arbres non isomorphes (par exemple,  $A_L$  lui-même,  $A_b$  et  $A_{ba}$ )

nombre fini de sous-arbres non isomorphes : arbre **régulier**.

## ARBRE RÉGULIER



l'arbre  $A_L$  ne possède, à isomorphisme près, que 3 sous-arbres non isomorphes (par exemple,  $A_L$  lui-même,  $A_b$  et  $A_{ba}$ )

nombre fini de sous-arbres non isomorphes : arbre **régulier**.

## Graphes hamiltoniens



Sir William Hamilton (1805–1865)

Analogie avec les graphes eulériens passant par chaque arête :

## DÉFINITION

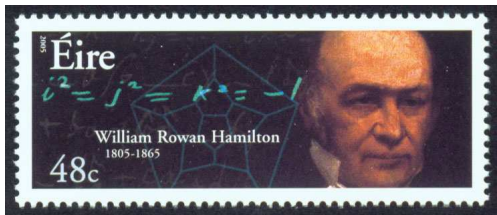
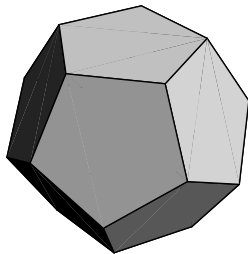
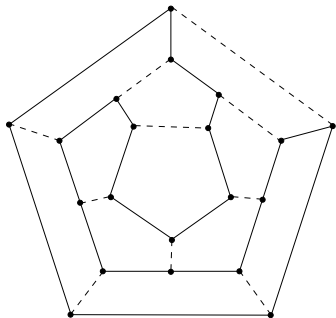
Un chemin (resp. circuit) **hamiltonien** de  $G$  : passe une et une seule fois par chaque sommet de  $G$ .

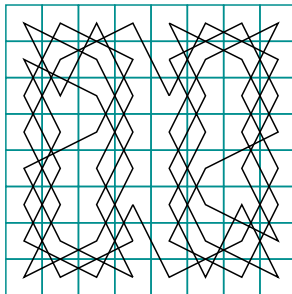
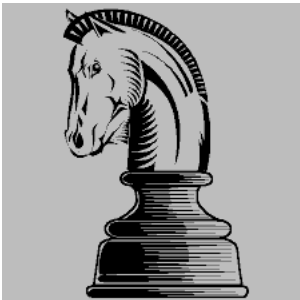
Un graphe **hamiltonien** : graphe possédant un circuit hamiltonien.

- ▶ En général, on se pose la question pour les graphes ayant au moins 3 sommets.
- ▶ Inutile de considérer des multigraphes  $\rightsquigarrow$  graphes simples.
- ▶ Un arbre ayant au moins 3 sommets n'est jamais hamiltonien.



On considère ici des graphes simples et non orientés.





Condition **nécessaire** pour qu'un graphe soit hamiltonien.

## PROPOSITION

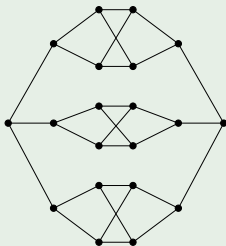
Soit  $G = (V, E)$  est un graphe hamiltonien.

Pour tout ensemble non vide  $S \subseteq V$ ,

le nombre de composantes connexes de  $G - S$  est  $\leq \#S$ .

## EXEMPLE

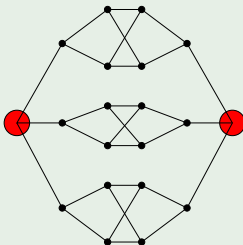
Ce graphe est-il hamiltonien ?



Le nombre de composantes connexes de  $G - S$  est  $> \#S$ ,  
donc le graphe n'est pas hamiltonien (contraposée).

## EXEMPLE

Ce graphe est-il hamiltonien ?



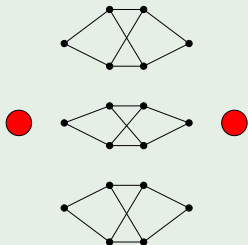
$$\#S = 2$$



Le nombre de composantes connexes de  $G - S$  est  $> \#S$ ,  
donc le graphe n'est pas hamiltonien (contraposée).

## EXEMPLE

Ce graphe est-il hamiltonien ?



$$\#S = 2$$

Preuve :

- ▶ Par hypothèse, on dispose d'un circuit hamiltonien.
- ▶ Si on enlève un sommet à un circuit, il reste connexe.
- ▶ Si on enlève deux sommets, on a au plus deux composantes connexes (on pourrait en garder une seule).
- ▶ ...
- ▶ Par récurrence, si on enlève  $k$  sommets, on a au plus  $k$  composantes connexes (sans même tenir compte des autres arêtes du graphe).

## REMARQUE

Décider si un graphe donné est hamiltonien est un problème difficile (NP-complet). Méthode naïve : passer en revue les  $n!$  permutations des sommets.

~> On dispose uniquement de conditions suffisantes assurant le caractère hamiltonien d'un graphe.

- ▶ Théorème de Dirac
- ▶ Théorème d'Ore ~> fermeture d'un graphe
- ▶ Théorème de (Bondy–)Chvátal

## THÉORÈME DE DIRAC (1952)

Soit un graphe  $G$  (simple et non orienté) ayant  $n \geq 3$  sommets.  
Si le degré de chaque sommet est  $\geq n/2$ ,  $G$  est hamiltonien.

## THÉORÈME D'ORE (1960)

Soit un graphe  $G$  (simple et non orienté) ayant  $n \geq 3$  sommets.  
Si il existe 2 sommets  $x$  et  $y$  t.q.  $\deg(x) + \deg(y) \geq n$ .  
Le graphe  $G$  est hamiltonien SSI  $G + \{x, y\}$  l'est.

Définition de la **fermeture**  $\mathcal{F}(G)$  d'un graphe  $G$ .

La **fermeture** d'un graphe simple et non orienté  $G_0 = (V_0, E_0)$ .  
On définit une suite finie de graphes (simples)

$$G_0, G_1, \dots, G_i = (V_i, E_i), \dots, G_k$$

Pour tout  $i$ , on ajoute à  $G_i$  une arête comme suit :

$$G_{i+1} = G_i + \{u, v\}$$

où  $u$  et  $v$  sont t.q.  $\{u, v\} \notin E_i$  et

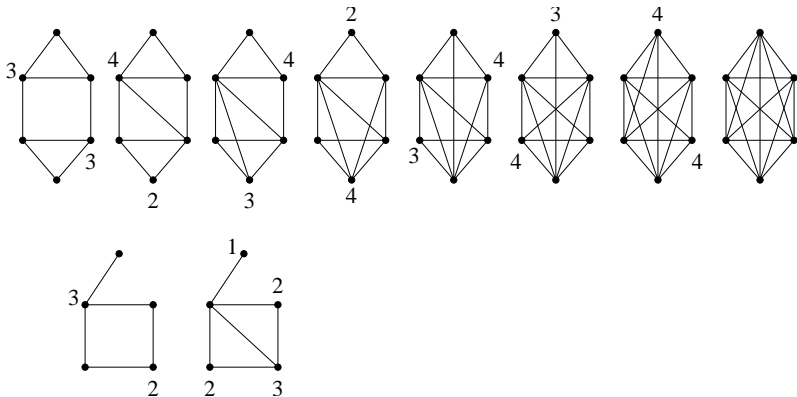
$$\deg_{G_i}(u) + \deg_{G_i}(v) \geq \#V$$

où  $\deg_{G_i}$  désigne le degré d'un sommet dans le graphe  $G_i$ .

La procédure s'arrête à  $G_k$  si, pour tous sommets  $u, v$ ,  
soit  $\{u, v\} \in E_k$ , soit  $\deg_{G_k}(u) + \deg_{G_k}(v) < \#V$ .

La définition ne dépend PAS de l'ordre dans lequel les arêtes sont ajoutées.

On parle donc de LA fermeture  $\mathcal{F}(G)$ .



## Corollaires directs du théorème d'Ore

### COROLLAIRE


Soit un graphe  $G$  (simple et non orienté) ayant  $n \geq 3$  sommets.  
Le graphe  $G$  est hamiltonien SSI sa fermeture l'est.

### COROLLAIRE

Soit un graphe  $G$  (simple et non orienté) ayant  $n \geq 3$  sommets.  
Si la fermeture de  $G$  est  $K_n$ , alors  $G$  est hamiltonien.  
La réciproque est **fausse**.

### COROLLAIRE

Soit un graphe  $G$  (simple et non orienté) ayant  $n \geq 3$  sommets.  
Si pour tout couple de sommets non adjacents  $(x, y)$ ,  
on a  $\deg(x) + \deg(y) \geq n$ , alors  $G$  est hamiltonien.  
En particulier, si  $\min_{v \in V} \deg(v) \geq n/2$ , alors  $G$  est hamiltonien.

Le thm. d'Ore implique donc le thm. de Dirac. 

Les deux derniers corollaires ne fournissent pas de condition nécessaire.

Contre-exemple :

un unique cycle  $C$  ayant  $\geq 5$  sommets :  $\mathcal{F}(C) = C$ .



## THÉORÈME DE DIRAC (1952)

Soit un graphe  $G$  (simple et non orienté) ayant  $n \geq 3$  sommets.

Si le degré de chaque sommet est  $\geq n/2$ ,  $G$  est hamiltonien.

Preuve du thm. de Dirac.

1) le graphe est **connexe** :

Sinon, on aurait au moins deux composantes connexes.

Donc, une des composantes a  $\leq \lfloor n/2 \rfloor$  sommets.

Or, chaque sommet a  $\geq \lceil n/2 \rceil$  voisins !

2) Soit  $(v_0, \dots, v_k)$  un chemin simple de **longueur maximum**  $k$ .

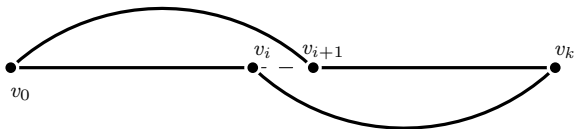
▶  $k < n$

▶ les voisins de  $v_0$  sont tous dans  $\{v_1, \dots, v_k\}$

▶ les voisins de  $v_k$  sont tous dans  $\{v_0, \dots, v_{k-1}\}$

On va montrer qu'il existe  $i < k$  tel que

$$\{v_0, v_{i+1}\} \in E \text{ et } \{v_i, v_k\} \in E$$



Par l'absurde :

- ▶ Soit  $I \subseteq \{0, \dots, k-1\}$  l'ensemble des indices  $i$  tels que  $\{v_0, v_{i+1}\} \in E(G)$ . Si  $i \in I$ , alors  $\{v_i, v_k\} \notin E(G)$ .
- ▶ Soit  $J \subseteq \{0, \dots, k-1\}$  l'ensemble des indices  $i$  tels que  $\{v_i, v_k\} \in E(G)$ . Si  $i \in J$ , alors  $\{v_0, v_{i+1}\} \notin E(G)$ .
- ▶ Par hypothèse,  $\#I \geq n/2$  et  $\#J \geq n/2$ .
- ▶  $I \cap J = \emptyset$  donc  $\#(I \cup J) \geq n$ .
- ▶ Mais  $I, J \subseteq \{0, \dots, k-1\}$ , donc  $\#(I \cup J) \leq k < n$ .

On a donc un circuit.

Le graphe est connexe. Si un sommet n'appartient pas au circuit, il existe un chemin de ce sommet vers le circuit (connexité).

$\leadsto$  on crée alors un chemin simple plus long que  $(v_0, \dots, v_k)$ .

## THÉORÈME D'ORE (1960)

Soit un graphe  $G$  (simple et non orienté) ayant  $n \geq 3$  sommets.

Si il existe 2 sommets  $x$  et  $y$  t.q.  $\deg(x) + \deg(y) \geq n$ .

Le graphe  $G$  est hamiltonien SSI  $G + \{x, y\}$  l'est.

Preuve du thm. d'Ore.

Seul cas non trivial :  $\{x, y\}$  n'est pas une arête de  $G$   
et on dispose d'un circuit hamiltonien utilisant  $\{x, y\}$

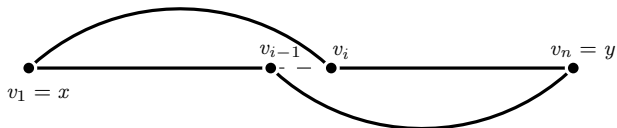
$$(x = v_1, v_2, \dots, v_n = y).$$

Thèse : trouver un autre circuit hamiltonien (sans  $\{x, y\}$ )

On suppose  $n \geq 4$

But : montrer qu'il existe  $i \in \{3, \dots, n-1\}$  tel que

$$\{v_1, v_i\} \in E(G) \text{ et } \{v_{i-1}, v_n\} \in E(G)$$



$x = v_1$  a au moins 2 voisins dans  $G$  :

$v_2$  et un sommet dans  $\{v_3, \dots, v_{n-1}\}$

sinon,  $\deg(v_1) = 1$  et donc, par hypothèse,  $\deg(v_n) \geq n - 1$

alors,  $v_n = y$  voisin de tous les sommets, or  $\{x, y\} \notin E(G)$  !

Idem,  $v_n$  a au moins 2 voisins dans  $G$  :

$v_{n-1}$  et un sommet dans  $\{v_2, \dots, v_{n-2}\}$ .

Par l'absurde :

- ▶ Soit  $I \subseteq \{3, \dots, n-1\}$  l'ensemble des indices  $i$  tels que  $\{v_1, v_i\} \in E(G)$ . Si  $i \in I$ , alors  $\{v_{i-1}, v_n\} \notin E(G)$ .
- ▶ Soit  $J \subseteq \{3, \dots, n-1\}$  l'ensemble des indices  $i$  tels que  $\{v_{i-1}, v_n\} \in E(G)$ . Si  $i \in J$ , alors  $\{v_1, v_i\} \notin E(G)$ .
- ▶ Par hypothèse,  $\#I + \#J \geq n - 2$   
(on décompte les arêtes  $\{v_1, v_2\}$  et  $\{v_{n-1}, v_n\}$ ).
- ▶  $I \cap J = \emptyset$  donc  $\#(I \cup J) = \#I + \#J \geq n - 2$ .
- ▶ Mais  $I, J \subseteq \{3, \dots, n-1\}$ , donc  $\#(I \cup J) \leq n - 3$ .

## THÉORÈME DE CHVÁTAL (1972)

Soit  $G$  un graphe (simple et non orienté) ayant  $n \geq 3$  sommets ordonnés par degré croissant, i.e.,

$$\deg(v_1) \leq \deg(v_2) \leq \dots \leq \deg(v_n).$$

Si, pour tout  $k < n/2$ , le graphe satisfait

$$\deg(v_k) \leq k \Rightarrow \deg(v_{n-k}) \geq n - k, \quad (1)$$

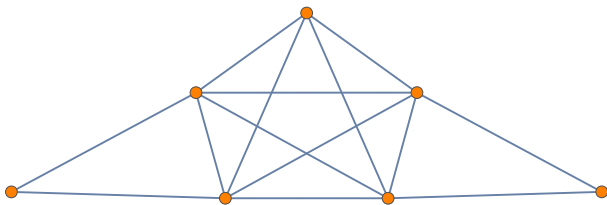
alors  $G$  possède un circuit hamiltonien.

## REMARQUE

Si pour tout couple de sommets non adjacents  $(x, y)$ , on a  $\deg(x) + \deg(y) \geq n$ . Alors ce graphe vérifie (1).

La réciproque est **fausse**.

Un exemple de graphe vérifiant la condition (1)



```
Sort[VertexDegree[%]]
```

```
(2, 2, 4, 5, 5, 5, 5)
```

```
test[l_List] :=  
  Apply[And,  
    Table[ l[[k]] > k || l[[Length[l]-k]] >= Length[l]-k,  
      {k, 1, Floor[Length[l]/2]} ] ]
```



D'un point de vue 'logique mathématique'

$$p \Rightarrow q \equiv \neg p \vee q$$

$p$	$q$	$p \Rightarrow q$
$V$	$V$	$V$
$V$	$F$	$F$
$F$	$V$	$V$
$F$	$F$	$V$

(1)

$$\forall k < n/2, \quad \deg(v_k) \leq k \Rightarrow \deg(v_{n-k}) \geq n - k$$

$$n = 7$$

$$(2, 2, 4, 5, 5, 5, 5)$$

$$k = 1, 2, 3 \quad \deg(v_1) = 2 > 1$$

$$\deg(v_2) = 2 \leq 2 \quad \& \quad \deg(v_5) \geq 5$$

$$\deg(v_3) = 4 > 3$$

Thèse : montrer que (1) entraîne  $\mathcal{F}(G) = K_n$ .

1) Si  $G$  vérifie (1),  $\mathcal{F}(G)$  vérifie aussi (1).

Quand on passe à  $\mathcal{F}(G)$ , certains degrés augmentent...

Quid de la condition (1) quand un élément "fait +1"?

$$t_1 \leq \dots \leq t_i \leq \dots \leq t_n$$

$t_i$  devient  $t_i + 1$  et on réordonne en :  $s_1 \leq \dots \leq s_n$ .

Vérifions que  $s_k \geq t_k$  pour tout  $k$  ( $\leadsto (s_i)_{1 \leq i \leq n}$  vérifie (1)).

- ▶ Si  $t_i + 1 \leq t_{i+1}$ , e.g.  $(3, 3, \underline{3}, 4, 4, 4, 5)$  et  $i = 3$ ,  
on remplace le dernier 3 par 4 :  $(3, 3, \underline{4}, 4, 4, 4, 5)$ .  
Aucun réarrangement :  $s_k = t_k$  si  $k \neq i$  et  $s_i = t_i + 1 \geq t_i$ .
- ▶ Si  $t_i + 1 > t_{i+1} = \dots = t_{i+\ell}$ , e.g.  $(3, 3, 3, \underline{4}, 4, 4, 5)$  et  $i = 4$ ,  
 $\ell = 2$ , on doit réarranger :
  - ▶  $s_{i+j} = t_{i+j+1} \geq t_{i+j}$  si  $j \in \{0, \dots, \ell - 1\}$ ,
  - ▶  $s_{i+\ell} = t_i + 1 > t_{i+\ell}$  et
  - ▶  $s_k = t_k$  si  $k \notin \{i, \dots, i + \ell\}$ .

2) On peut supposer que  $G$  est égal à sa fermeture.

Par l'absurde, supposons que  $G \neq K_n$ .

Donc, il existe  $u, v \in V$  t.q.  $\{u, v\} \notin E$ . et  $\deg(u) + \deg(v) < n$ .

Choisir  $u, v$  tels que  $\deg(u) + \deg(v)$  max. et  $\deg(u) \leq \deg(v)$ .

Soit  $i = \deg(u)$ . On a  $i < n/2$  car, sinon  $\deg(u) + \deg(v) \geq n$

$$A = \{w \in V \mid \{w, v\} \notin E(G) \text{ and } w \neq v\} \ni u.$$

Vu le choix de  $u, v$ , tout sommet  $w \in A$  est t.q.  $\deg(w) \leq \deg(u)$ .

$A$  contient tous les sommets  $\neq v$  non-voisins de  $v$

$$\#A = (n - 1) - \deg(v) \geq \deg(u).$$

$\leadsto \geq i$  sommets de degré  $\leq i$ .

Autrement dit,  $\deg(v_i) \leq i$  et  $i < n/2$ .

Donc, vu l'hypothèse (1) on devrait avoir  $\deg(v_{n-i}) \geq n - i$ .

$$B = \{w \in V \mid \{u, w\} \notin E(G) \text{ and } w \neq u\} \ni v.$$

Vu le choix de  $u, v$ , tout sommet  $w \in A$  est t.q.

$$\deg(w) \leq \deg(v) < n - i.$$

$$\#B = (n - 1) - \deg(u) = n - i - 1.$$

$\leadsto n - i - 1$  sommets de degré  $< n - i$ .

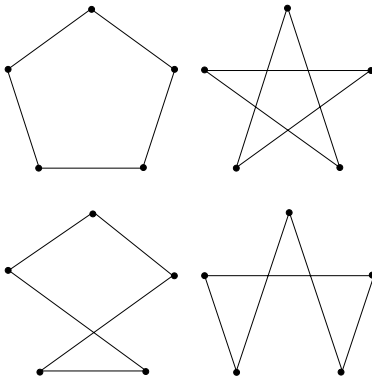
De plus, le sommet  $u$  de degré  $i$  et  $i < n - i$ .

En effet,  $i < n - \deg(v)$  et  $\deg(v) \geq i$ .

$\leadsto \geq n - i$  sommets de degré  $< n - i$ .

Donc  $\deg(v_{n-i}) < n - i$  une contradiction !

# PARTITION DE $K_n$ EN CIRCUITS HAMILTONIENS



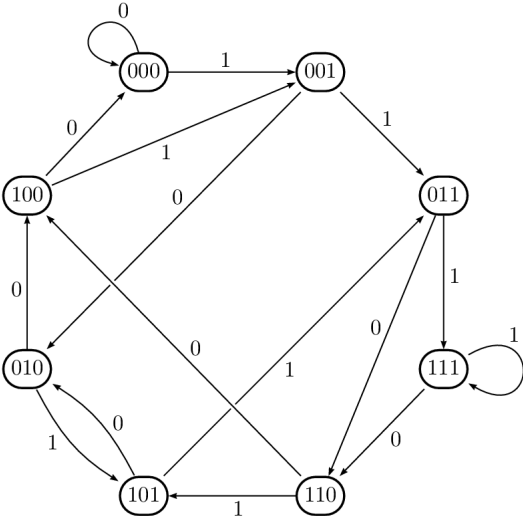
## PROPOSITION

Pour  $n \geq 3$ ,  $K_n$  peut être partitionné en circuits hamiltoniens disjoints SSI  $n$  impair. Le nombre de tels circuits partitionnant  $K_n$  vaut  $(n - 1)/2$ .

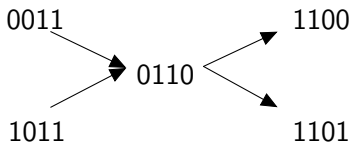
## LEMME

Si  $n$  pair,  $K_n$  peut être partitionné en  $n/2$  chemins hamiltoniens disjoints.

Graphe de De Bruijn (d'ordre 3 sur deux symboles) est hamiltonien



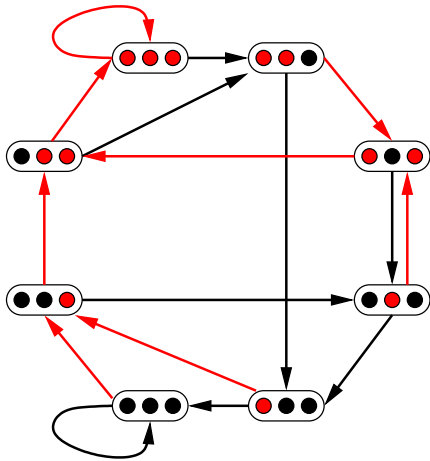
Rappel : on sait que le graphe de De Bruijn d'ordre  $n$  est Eulérien



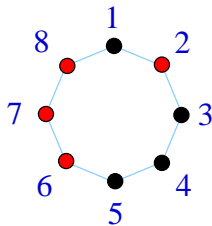
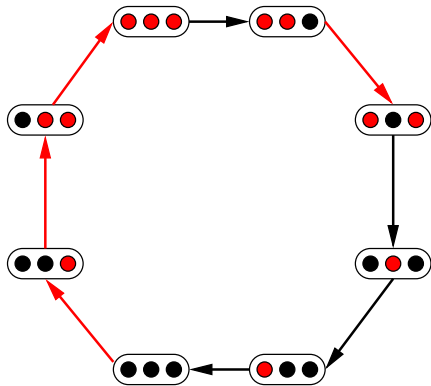
circuit eulérien du graphe d'ordre  $n \rightsquigarrow$  circuit hamiltonien du graphe d'ordre  $n + 1$

les arête de  $G_n$  correspondent exactement aux sommets de  $G_{n+1}$

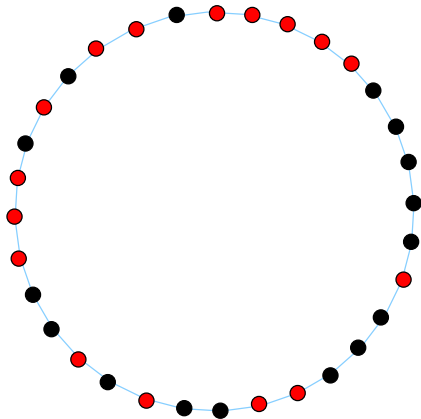




Chaque suite de 3 couleurs rouge/noir apparaît une et une seule fois dans le cycle de longueur 8 :



Chaque suite de 5 couleurs rouge/noir apparaît une et une seule fois dans le cycle de longueur 32 :



<http://images.math.cnrs.fr/La-magie-des-colliers-de-perles-de-Nicolaas-Govert-de-Bruijn>